

惑星地球科学2 (第四回目)

大気・太陽活動

東京大学総合文化研究科：
小宮 剛 准教授
2015/10/16

②他の地球型惑星の大気の組成

	成分	濃度 (bars)	存在比 (%)
金星 (Venus)	CO ₂	86.4	96
	N ₂	3.2	3.5
	H ₂ O	0.009	1×10 ⁻²
90 bar	Ar	0.0063	7×10 ⁻³
地球 (Earth)	N ₂	78	77
	O ₂	21	21
	H ₂ O	0.01	1
1 bar	Ar	0.0094	0.93
	CO ₂	3.55×10 ⁻⁴	3.5×10 ⁻⁴
火星 (Mars)	CO ₂	0.0062	95
	N ₂	0.00018	2.7
	Ar	0.00010	1.6
6-8×10 ⁻³	H ₂ O	3.9×10 ⁻⁷	6×10 ⁻³
bar	CO, O ₂ , CH ₄	<1	
水星 (Mercury)	K		31.7(太陽風+隕石衝突)
	Na		24.9(太陽風+隕石衝突)
	O		9.5(太陽風+岩石反応)
10 ⁻⁵ bar	Ar		7
	He		5.9(太陽風, solar wind)
	O ₂		5.6(太陽風+岩石反応)

他の惑星はCO₂が多い。

(2) 大気の組成

① 地球大気の組成

成分	分子量	地表における乾燥大気組成比		平均滞留時間
		容積存在比 (ppmv)	年	
N ₂	28.01	780800		2×10 ⁷ 年
O ₂	32	209500		2200 年
Ar	39.94	9340		
CO ₂	44.01	360	増加率 年 0.4%	4 年
Ne	20.18	18		
He	4.00	5.2		
CH ₄	16.05	1.8	増加率 年 1.0%	12 年
Kr	83.80	1.1		
H ₂	2.02	0.5		2 年
N ₂ O	44.02	0.3	増加率 年 0.2%	114 年
CO	28.01	0.1	変動大	0.1 年
Xe	131.29	0.09		
O ₃	48.00	0.03	変動大	数日-数週間
H ₂ O	18.02	1000-30000	変動大	

(1) 地球の大気構造

熱圏

④ 太陽の紫外放射による電離・解離による加熱：高度ほど高温

⑤ 重力的に成層

中間圏

⑥ O₃の紫外吸光による加熱とCO₂, H₂O, O₃の赤外放射冷却

成層圏: 高度25~50km付近の温度極大まで。

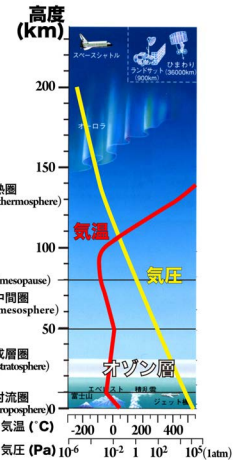
⑦ O₃の紫外放射吸収加熱とCO₂, H₂O, O₃の赤外放射冷却

⑧ O₃の主要部は成層圏にあり、その中心は中緯度で25km付近

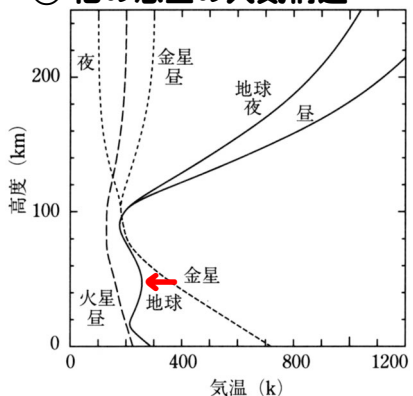
対流圏: 高度15km付近に現れる最初の温度極小まで。

⑨ 温度(密度)的に不安定

⑩ 圏界面は赤道(17)極域(8km)



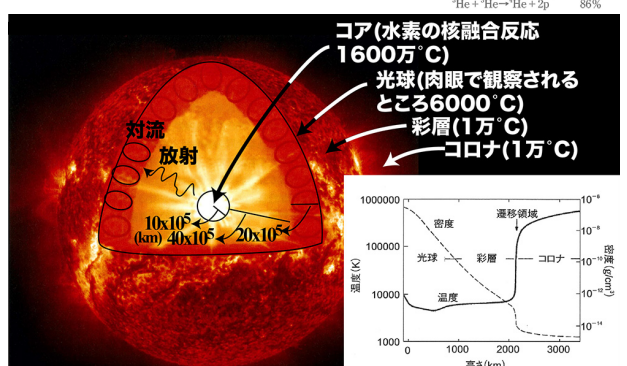
② 他の惑星の大気構造



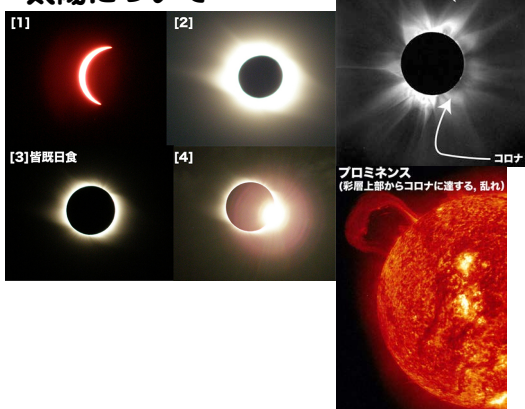
地球型惑星大気温度構造の模式図

他の惑星にはオゾン層が無い。
→成層圏上部や中間圏下部の高温域はオゾン層による吸収による為、この部分は地球特有の特徴である。

太陽について



太陽について

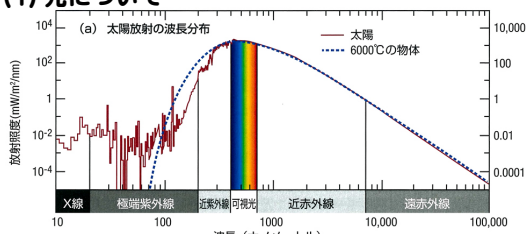


太陽から放出されるもの。

(1) 光や熱

(2) 太陽風(陽子, 中性子, 電子, イオンでできた粒子流)

(1) 光について



太陽放射スペクトル

大気外~6000Kの黒体

輻射スペクトルに近似→可視光の所にピーク

太陽定数(F_s) :

太陽からどれくらいのエネルギー(全ての波長の光)が地球にもたらされているか。

三太陽放射量

→ 1370 W/m² (球状なので343 W/m²)

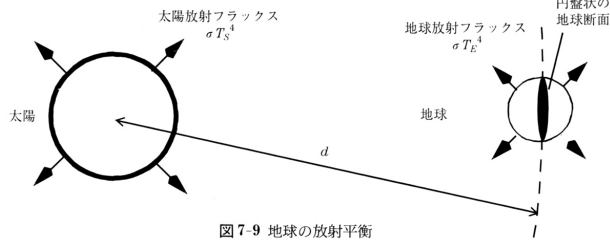


図 7-9 地球の放射平衡

太陽定数(F_s)とは

黒体輻射を考えると
太陽が放射するエネルギーは
 $E_s = \sigma T_s^4 (J/m^2)$

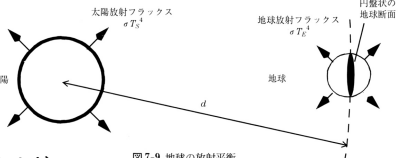


図 7-9 地球の放射平衡

太陽全体からの放射エネルギー

$$E_s = 4\pi R_s^2 \sigma T_s^4$$

T_s : 太陽の黒体輻射の温度(5770 K)

ステファン・ボルツマン定数: $\sigma = 2\pi^5 k^4 / 15 c^2 h^3 = 5.67 \times 10^{-8} (W/m^2 K^4)$

プランク定数: $h = 6.63 \times 10^{-34} Js$, ボルツマン定数: $k = 1.38 \times 10^{-23} J/K$

R_s : 太陽の半径 ~7x10^5 km, d : 太陽と地球の距離 1.5x10^8 km

地球への放射エネルギー(F_s 5770Kに相当)

$$F_s = E_s / 4\pi d^2 = 4\pi R_s^2 \sigma T_s^4 / 4\pi d^2 = \sigma T_s^4 R_s^2 / d^2 = 1370 W/m^2$$

地球への全入射エネルギー: $\pi R_E^2 F_s$

単位表面積あたり $\pi R_E^2 F_s / 4\pi R_E^2 = F_s / 4$

地球の散乱断面積: πR_E^2 , R_E : 地球の半径

(5)練習問題①

① 地球の有効温度(放射平衡温度)を計算せよ。ただし、地球全体のアルベド(A)を0.28とする。有効温度とは宇宙から見た時の地球の黒体輻射温度。

解答:

* 地球への全入射太陽エネルギーは $\pi R_E^2 F_s$ 。アルベドを考慮し、地球表面に達する単位表面積あたりのエネルギーは $F_s(1-A)/4$

* 有効温度を T_E とすると、黒体輻射を仮定して、 σT_E^4

* 地球表面に入射するエネルギーと放射エネルギーが釣り合っているとすると

$$F_s(1-A)/4 = \sigma T_E^4, T_E = [F_s(1-A)/4\sigma]^{1/4} = 257K$$

(4) 各惑星の物理的特性と大気や温度の比較

特性	金星	地球	火星
全質量 ($10^{27} kg$)	5	6	0.6
半径 (km)	6049	6371	3390
大気の質量 (割合)	100	1	0.06
表面気圧 (atm)	90	1	0.008
太陽からの距離 ($10^6 km$)	108	150	228
太陽定数 (W/cm ²)	2613	1380	589
アルベド (%)	75	30	15
雲量 (%)	100	50	変動する
有効放射温度 (°C)	-39	-18	-56
表面温度 (°C)	427	15	-53
温室効果による温度上昇 (°C)	446	33	3
$N_2(\%)$	<2	78	<2.5
$O_2(\%)$	<1 ppmv	21	<0.25
$CO_2(\%)$	>98	0.035	>96
$H_2O(\%)$	$1 \times 10^{-4} \sim 0.3$	$3 \times 10^{-4} \sim 4$	<0.001
$SO_2(\%)$	150 ppmv	<1 ppbv	0
Ar(%)	-	0.9	1.6
雲の組成	H_2SO_4	H_2O	塵, H_2O , CO_2

太陽定数: 太陽からの入射エネルギー量 → 太陽からの距離に依存。
有効放射温度: 宇宙から見た時の地球の温度: (入射エネルギー) - (入射時の大気による吸収) - (放射時の大気による吸収: 温室効果)

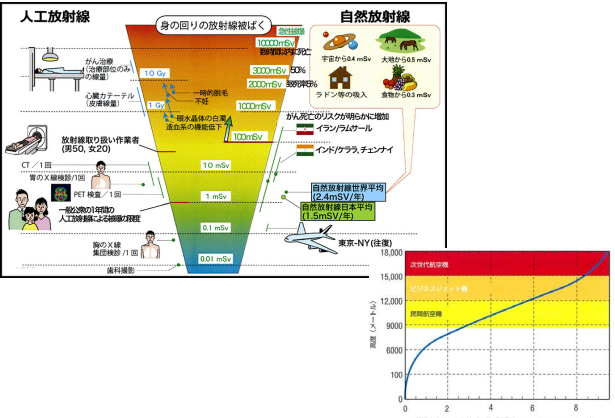
(2) 太陽風(陽子, 中性子, 電子, イオンでできた粒子流)

太陽風	エネルギー	発生源
弾丸	0.6	
低速太陽風	300	1~20(e-) コロナ下部のコロナストリーマ (磁気活動が強い)
高速太陽風	750	30(e-) 内部コロナや遷移層、コロナホール (磁気活動が弱い、太陽風が飛び出しそう)
最速太陽風	900	
光	300000	

地球上に降り注ぐエネルギー粒子

太陽風	E (eV)	発生源	粒子の種類
太陽風	0.5	光球(5000°C)	陽子, 電子
	1	彩層下部(1万°C)	陽子, 電子
	10	遷移層(10万°C)	陽子, 電子
$10^2 \sim 10^3$	$10^2 \sim 10^3$	コロナ($10^2 \sim 10^3$ 万°C)	陽子, 電子, イオン
$>10^3$	$>10^3$	コロナストリーマ($10^2 \sim 10^3$ 万°C)	陽子, 電子, イオン
$10^4 \sim 10^5$	$10^4 \sim 10^5$	太陽フレア($10^4 \sim 10^5$ 万°C)	陽子, 電子, イオン
$>10^5$	$>10^5$	爆発的なフレアやコロナ質量放出が太陽風を追いつける際の衝撃波	陽子, 電子, イオン
$3 \times 10^8 \sim 10^{20}$	$3 \times 10^8 \sim 10^{20}$	銀河, 超新星爆発	陽子, 電子, イオン

(2) 太陽風(陽子, 中性子, 電子, イオンでできた粒子流)



太陽について

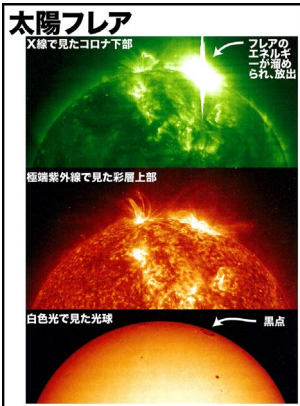
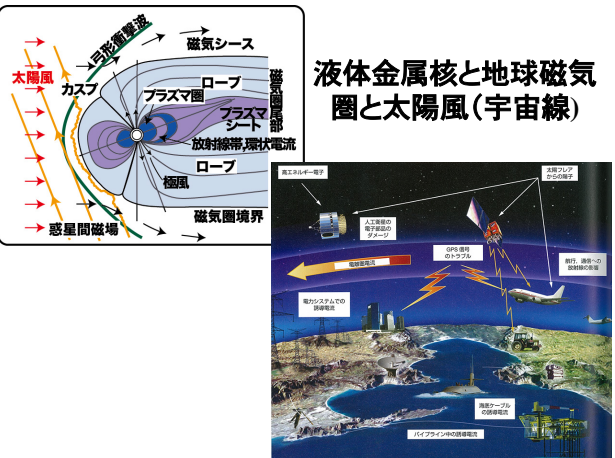
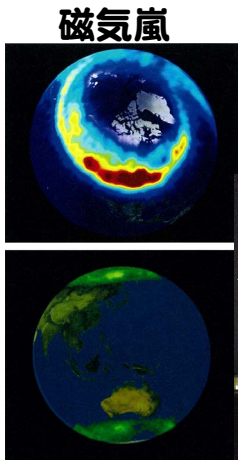


図 2 フレアから惑星間空間に飛び出すプラズマ雲 (参考: 丸山編 2000, 69頁から引用)

液体金属核と地球磁気圏と太陽風(宇宙線)



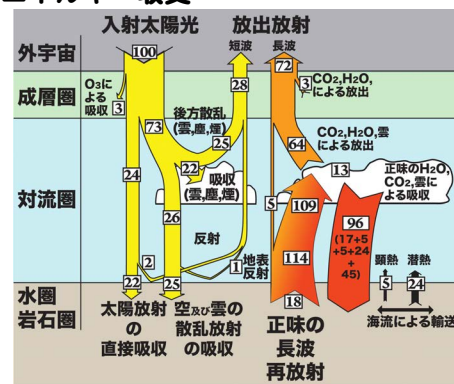


磁気嵐

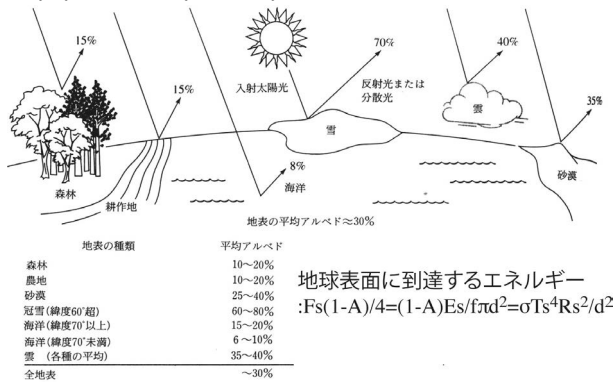


(3)エネルギー収支と地球大気

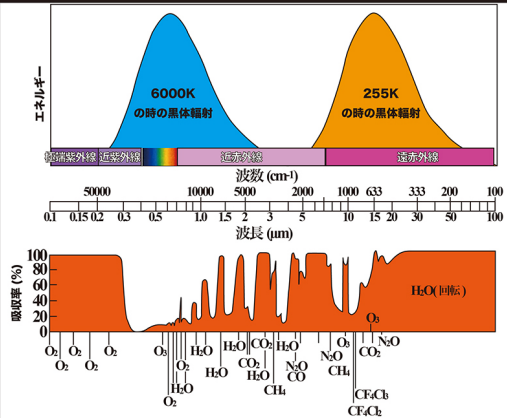
①エネルギー収支



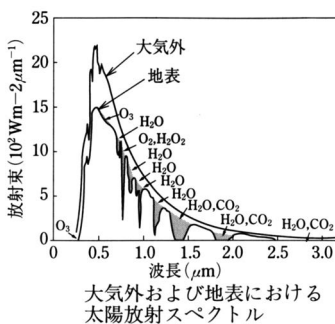
(3)アルベド(反射率)



③太陽入射と地球放射エネルギーのまとめ



②入射太陽エネルギー



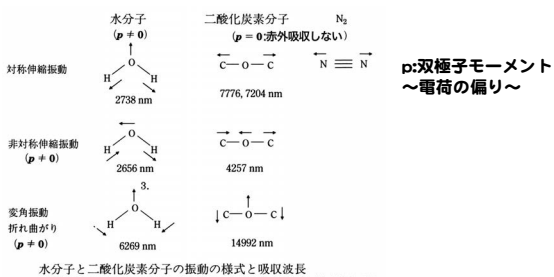
吸収・放射エネルギーを熱エネルギーへ→加熱

温室効果ガスとその吸収帯
 ~赤外域では大部分 CO_2 や H_2O により吸収

8~12μmに、 CO_2 や H_2O によって吸収されないバンドあり→「赤外領域大気の窓」
 この波長域により放射される。

→ここが閉じられると温室効果による温暖化へ

②分子の構造と吸収

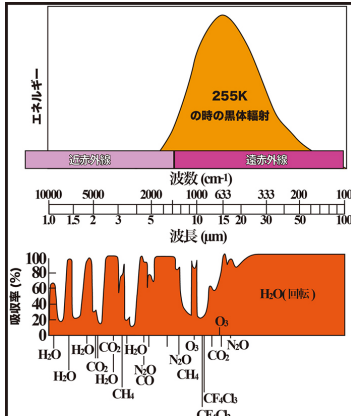


水分子と二酸化炭素分子の振動の様式と吸収波長

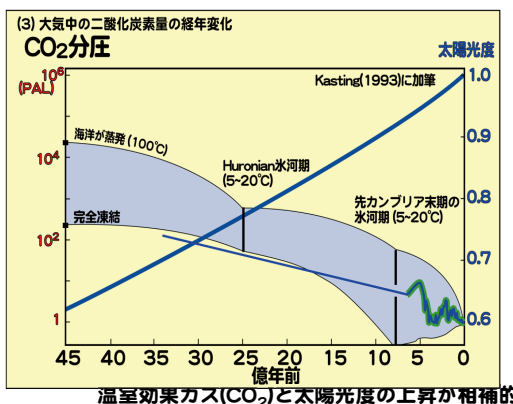
水分子と二酸化炭素分子は回転によって長波長の電磁波(遠赤外線)を吸収

温室効果ガスの特徴(赤外線をよく吸収する分子)
 ①極性のある分子(ΔQ :極性の大きさ, $\times (N_2$ や O_2))
 ②振動により結合長が変化(Δq :結合長の変化量)
 赤外線の吸収量: $\delta \mu (= \Delta Q * \Delta q)$ の2乗に比例

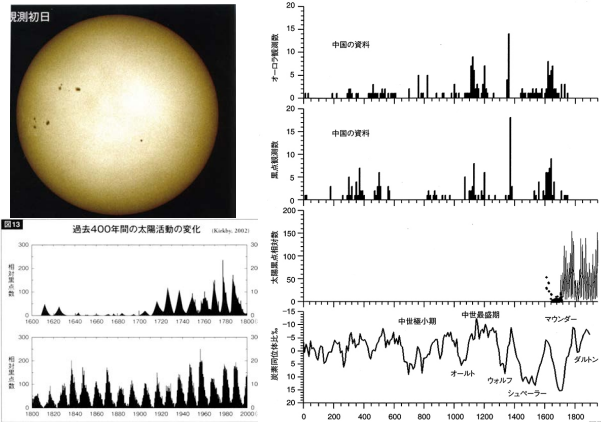
②地球放射エネルギー



太陽の変動

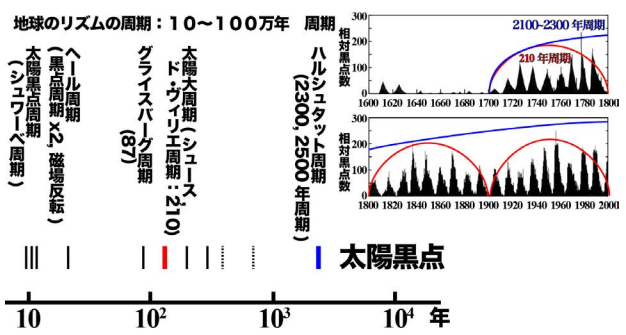


環境(気候)の周期(太陽活動)

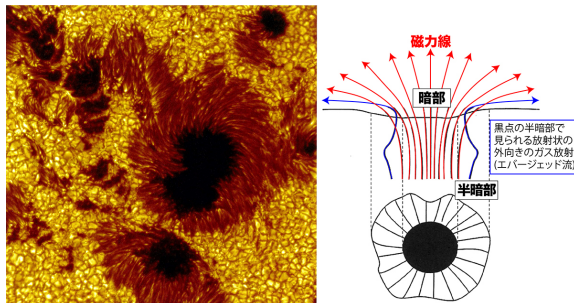


環境(気候)の周期

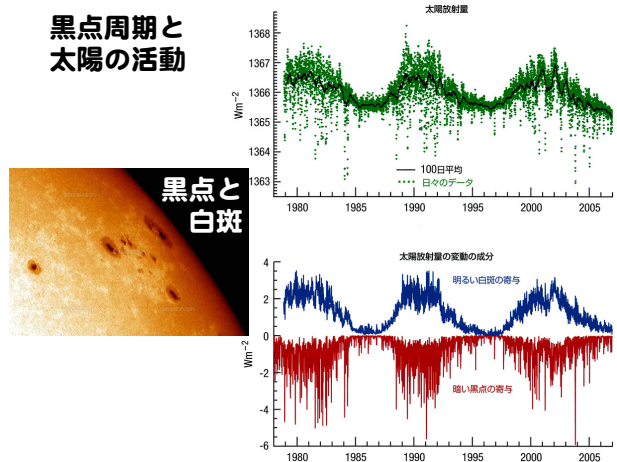
- (1) 太陽光度の上昇
- (2) 太陽周期 (長周期: 2500年, 200年...) (短周期: 11年)



環境(気候)の周期



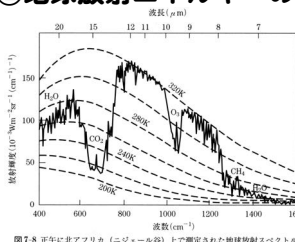
黒点周期と太陽の活動



太陽放射量と気温(火山等の影響、全体的な温度上昇を除く)

- (1) 黒点周期(太陽放射量と良い相関) ただし、絶対量があわない。
0.1%→0.06 °Cの変動。(実際は0.12 °C変動)

② 地球放射エネルギーの実測(人工衛星から)



- ④CO₂とH₂Oによる吸収
- ⑤赤外領域大気の窓を通して放電スペクトル
320K(ニジェールの地面温度)

- ⑥吸収された放電のスペクトルの温度280や215K

H₂Oが高度5kmに相当する
温度→これより高高度では
H₂Oは乏しい
CO₂は対流圏全体に存在し、上部対流圏が下部成層圏で減少
→対流圏界面の温度

